

No.1

National Institute of Advanced Industrial Science and Technology AIST

二相流数値シミュレーションにおける界面追跡のためのフェーズフィールドモデルと格子ボルツマン法

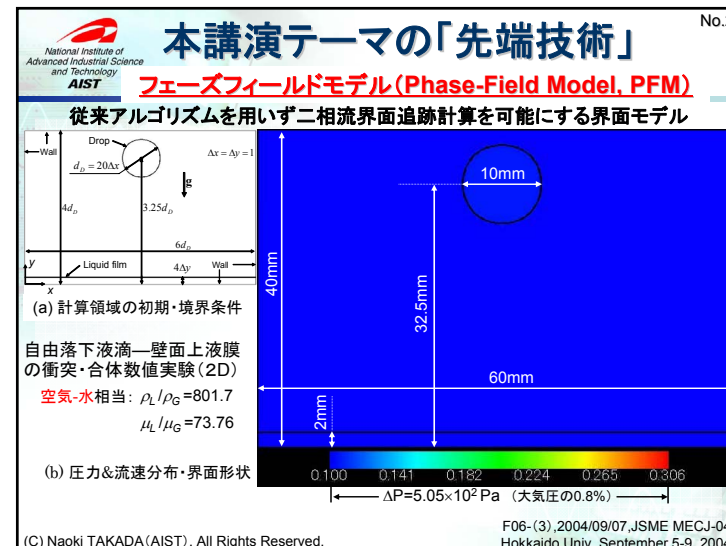
高田 尚樹

独立行政法人 産業技術総合研究所(AIST)
環境管理研究部門 環境流体工学研究グループ
〒305-8569 茨城県つくば市小野川16-1 つくば西事業所2G-1201

Naoki TAKADA (Research Scientist, Dr.Eng)
National Institute of Advanced Industrial Science and Technology (AIST)
16-1, Onogawa, Tsukuba, Ibaraki, 305-8569, JAPAN
Tel: +81-29-861-8232, Fax: +81-29-861-8722
E-mail: naoki-takada@aist.go.jp
URL: <http://staff.aist.go.jp/naoki-takada/index.html>

(社)日本機械学会 2004年度年次大会
先端技術フォーラム【F06】「熱流体解析技術の新展開—格子ボルツマン法—」
2004年9月7日(火), 北海道大学

F06-(3), 2004/09/07, JSME MECJ-04
(C) Naoki TAKADA (AIST), All Rights Reserved.



No.3

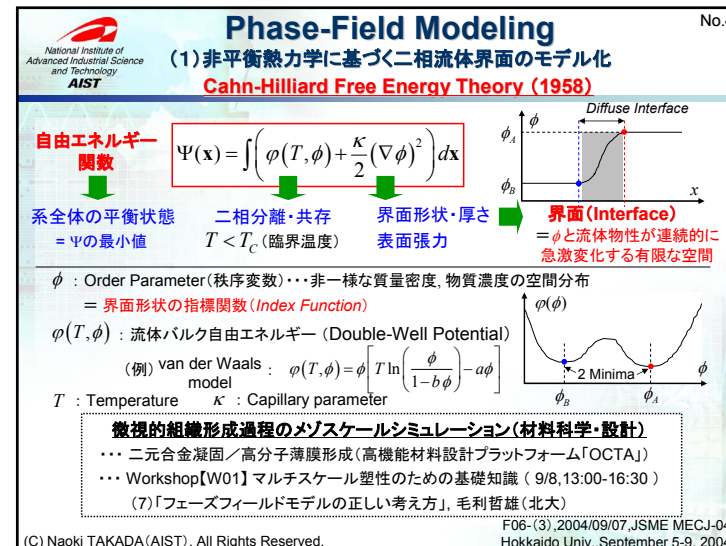
National Institute of Advanced Industrial Science and Technology AIST

講演内容

- 1. フェーズフィールドモデル(PFM)の概要**
- 2. PFMに基づく二相流数値計算手法の概要**
 - (1) 格子ボルツマン法(Lattice Boltzmann Method, LBM)
 - (2) 高密度比二相流Navier-Stokes(NS)-PFM法 *

(*注: 稲室先生の二相流LBMに基づき拡張・開発)
- 3. PFMに基づく界面移流のベンチマーク計算**
- 4. せん断流中における液滴挙動のLBM数値シミュレーション**
- 5. NS-PFM法による数値シミュレーション(液滴・気泡・液膜)**
- 6. まとめ**

F06-(3), 2004/09/07, JSME MECJ-04
(C) Naoki TAKADA (AIST), All Rights Reserved.



Phase-Field Modeling

(3) 非平衡統計熱力学と流体力学の融合(マルチフィジックス)

Non-equilibrium Statistical-Thermodynamics

Free Energy Functional Ψ

Pressure Tensor

$$P_{\alpha\beta} = \left(\phi \frac{\delta \Psi}{\delta \phi} - \Psi \right) \delta_{\alpha\beta} + \kappa \frac{\partial \phi}{\partial x_\alpha} \frac{\partial \phi}{\partial x_\beta}$$

Force balance

Chemical Potential

$$\eta = \frac{\delta \Psi}{\delta \phi}$$

Mass/Density balance

Surface Tension

$$\sigma = \kappa \int_{-\infty}^{+\infty} \left(\frac{\partial \phi}{\partial x} \right)^2 dx$$

Surface Free Energy per Unit Area (for flat interface)

Local Flux of ϕ due to Gradient of η

$$\mathbf{j}_\phi = \nabla \eta \rightarrow \text{toward Local Equilibrium}$$

Equation of Fluid Motion

Cahn-Hilliard Equation for Interface Transport

Two-Phase Fluid Dynamics

Phase-Field Modeling (Jacqmin, D., J. Comput. Phys., 155 (1999), 96-127.)

Second Gradient Method (Jamet, D., et al., J. Comput. Phys., 169 (2001), 624-651.)

F06-(3), 2004/09/07, JSME MECJ-04
Hokkaido Univ. September 5-9, 2004

(C) Naoki TAKADA (AIST), All Rights Reserved.

二相流界面追跡数値計算手法の構成
(従来手法/Phase-Field Model手法)

巨視的现象の記述法 流れの基礎方程式	界面現象の記述方式 界面移流・再構成法 /表面張力計算法	=	二相流数値計算手法	数値計算手法の具体例
plain Navier-Stokes (NS) Method	I/F-Tracking Scheme / CSF model	=	Conventional NS Method	Front-Tracking Level-Set Marker-and-Cell Volume-of-Fluid
plain LBM	Phase-Field Modeling (PFM)	=	Two-Phase Fluid LBM	Inamuro,T., et al. Seta,T., et al. Swift,M.R., et al.
plain-NS Method	Phase-Field Modeling (PFM)	=	NS-PFM Method	Doi,M., et al.(1997-) Jacqmin,D. (1999) Jamet,D., et al. (2001)

* 注: 支配方程式の離散化スキーム、計算アルゴリズム、座標系、等は3者とも任意選択可能

F06-(3), 2004/09/07, JSME MECJ-04
Hokkaido Univ. September 5-9, 2004

(C) Naoki TAKADA (AIST), All Rights Reserved.

Lattice-Boltzmann Binary Fluid Model (LB-BFM) for Two-Phase Flow
(for Equal-Density Two-phase Fluid, M.R.Swift et al, 1996)

Lattice-Boltzmann Equation (LBE) for Mass and Momentum Conservation:

$$\frac{\partial f_a(t, \mathbf{x})}{\partial t} + \mathbf{e}_a \cdot \nabla f_a(t, \mathbf{x}) = -\frac{1}{\tau_1} [f_a(t, \mathbf{x}) - f_a^{eq}(t, \mathbf{x})]$$

$$n = n_A + n_B = \sum_a f_a$$

Total number density of components A&B

$$\frac{\partial n}{\partial t} + \frac{\partial n u_a}{\partial x_a} = 0$$

$$\frac{\partial n u_a}{\partial t} + \frac{\partial n u_a u_\beta}{\partial x_\beta} = -\frac{\partial P_{ab}}{\partial x_\beta} + \nu \nabla^2 (n u_a) + \frac{\partial}{\partial x_a} \left(\lambda \frac{\partial n u_\beta}{\partial x_\beta} \right)$$

$$n_A n_B$$

for low Mach number

$$P_{ab} = \left[n T - \kappa \left(\phi \nabla \phi + \frac{|\nabla \phi|^2}{2} \right) \right] \delta_{ab} + \kappa \frac{\partial \phi}{\partial r_a} \frac{\partial \phi}{\partial r_b}$$

$$\nu = \frac{c^2 \Delta t}{4} \tau_2$$

$$\lambda = \Lambda \left(\frac{c^2}{2} - T \right) \tau_2$$

LBE for Transport for Interface and Phase Volume:

$$\frac{\partial g_a(t, \mathbf{x})}{\partial t} + \mathbf{e}_a \cdot \nabla g_a(t, \mathbf{x}) = -\frac{1}{\tau_2} [g_a(t, \mathbf{x}) - g_a^{eq}(t, \mathbf{x})]$$

$$\phi = n_A - n_B = \sum_a g_a$$

Number density difference = Index Function

$$\frac{\partial \phi}{\partial t} + \frac{\partial \phi u_a}{\partial x_a} = S$$

S=0 for a state of local equilibrium

■ A-rich : $\Delta n > 0$
■ B-rich : $\Delta n < 0$

Mixture of two components

LBE → Chapman-Enskog multi-scale expansion technique → Macroscopic Equations

F06-(3), 2004/09/07, JSME MECJ-04
Hokkaido Univ. September 5-9, 2004

(C) Naoki TAKADA (AIST), All Rights Reserved.

Governing Equations of PFM-based CFD Method No.8 for Incompressible Two-Phase Flow with High Density Ratio ρ_L/ρ_G (No Phase Change)
(Original : Two-phase LBM by Inamuro,T. et al., 2002-2004.)

Mass & Momentum Conservation Equations for Incompressible Two-Phase Flow

$$\frac{\partial \rho}{\partial t} + \mathbf{u} \cdot \nabla \rho = 0$$

$$\frac{\partial u_a}{\partial t} + u_\beta \frac{\partial u_a}{\partial x_\beta} = -\frac{1}{\rho} \frac{\partial P_{ab}}{\partial x_\beta} + \frac{1}{\rho} \frac{\partial}{\partial x_\beta} \left[\mu \left(\frac{\partial u_\beta}{\partial x_\alpha} + \frac{\partial u_\alpha}{\partial x_\beta} \right) \right] + g_a$$

圧力テンソル: $\mathbf{P} = P' \mathbf{I} + K_1 \nabla \rho \otimes \nabla \rho$

$$P' = p - K_1 \rho \nabla^2 \rho + \frac{K_1}{2} |\nabla \rho|^2$$

: Effective pressure

流体密度: $\rho = \frac{\rho_L + \rho_G}{2} + \frac{\rho_L - \rho_G}{2} \sin \left(\frac{\phi - (\phi_L + \phi_G)/2}{\phi_L - \phi_G} \right)$

表面張力係数

粘性係数: $\mu = \mu_G + \frac{\mu_L - \mu_G}{\rho_L - \rho_G} (\rho - \rho_G)$

Cahn-Hilliard(C-H)Equation with Advection for Transport of Interface & Volume

$$\frac{\partial \phi}{\partial t} + \nabla \cdot (\phi \mathbf{u}) = \nabla \cdot [\Gamma(\phi) \nabla \eta]$$

$$\eta = \frac{\delta \Psi_2}{\delta \phi} = \frac{\partial \Psi_2}{\partial \phi}$$

$\kappa \nabla^2 \phi$: 化学ポテンシャル
 $\Gamma(\phi) > 0$
R.H.S. = 0 for a local equilibrium state
界面厚さ係数

e.g. Phase-Separation FDM of MUFFIN 汎用多構造ダイナミクスシミュレータ (for Stokes flow)
in OCTA 高機能材料設計プラットフォーム (JCII/土井プロ) <http://octa.jp>
for Micro-Meso-Macro-Seamless Zooming Simulation

F06-(3), 2004/09/07, JSME MECJ-04
Hokkaido Univ. September 5-9, 2004

(C) Naoki TAKADA (AIST), All Rights Reserved.

No.9

National Institute of Advanced Industrial Science and Technology AIST

二相流界面追跡に関する従来計算法と Phase-Field Model(PFM)計算法との比較

計算法 (細分類)	従来計算法(NS方程式)	PFM計算法
MAC VOF Level Set Front Tracking MPS	NS-PFM	LBM LGCA
界面厚さ	数値的(0 or $\approx \Delta x$)	物理的(> Δx , 数セル)
表面張力	Continuum Surface Force (CSF) Model (界面厚さと関連なし)	界面自由エネルギー (界面厚さと関連あり)
界面移流・再構成	MAC PLIC MARS DA TVD CIP	化学ポテンシャル勾配
離散化	Eulerian Semi/Fully-Lagrangian ALE FDM FEM BEM / BFC	

PFMは新しい二相流計算アルゴリズムを提供する。

F06-(3), 2004/09/07, JSME MECJ-04
(C) Naoki TAKADA (AIST), All Rights Reserved.

No.10

National Institute of Advanced Industrial Science and Technology AIST

Benchmark of Transport of Interface Using the Cahn-Hilliard Equations(1D)

Generally, $\frac{\partial \phi}{\partial t} + \nabla \cdot [\phi \mathbf{u} + \Gamma(\phi) \mathbf{j}] = 0 \quad \mathbf{j} = -\nabla \eta$

C-H Equation

In this study, $\frac{\partial \phi}{\partial t} + \nabla \cdot [\phi \mathbf{u} + \Gamma_0 \mathbf{J}] = 0 \quad \mathbf{J} = -\phi \mathbf{j} = -\zeta \nabla \phi + \kappa_2 \phi \nabla (\nabla^2 \phi)$

Case (A) 1D square-wave propagation.
C-H方程式は数値振動・拡散を抑制した界面移流計算を実現

F06-(3), 2004/09/07, JSME MECJ-04
(C) Naoki TAKADA (AIST), All Rights Reserved.

No.11

National Institute of Advanced Industrial Science and Technology AIST

2次元界面非定常移流問題の C-H方程式によるベンチマーク計算

Cahn-Hilliard (C-H) 方程式
 $\frac{\partial \phi}{\partial t} + \nabla \cdot [\phi \mathbf{u} + \mathbf{F}(\phi)] = 0$
化学ポテンシャル勾配に基づく流束
(数値拡散・振動の抑制)

解法: 中心差分+2段階Runge-Kutta
 $\Delta x = \Delta y = 1 \quad u = v = 0.1$
Courant number:
 $C = \frac{u \Delta t}{\Delta x} = 8 \times 10^{-3} \quad \frac{\partial \phi}{\partial t} + \nabla \cdot (\phi \mathbf{u}) = 0$

* 参考文献: 高田尚樹, 富山明男, 機論B(2004, 投稿中).
(C) Naoki TAKADA (AIST), All Rights Reserved.

F06-(3), 2004/09/07, JSME MECJ-04
(C) Naoki TAKADA (AIST), All Rights Reserved.

No.12

National Institute of Advanced Industrial Science and Technology AIST

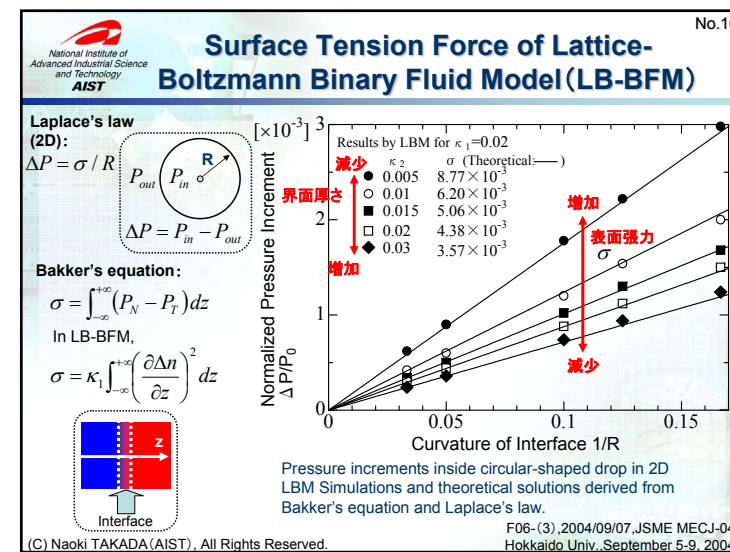
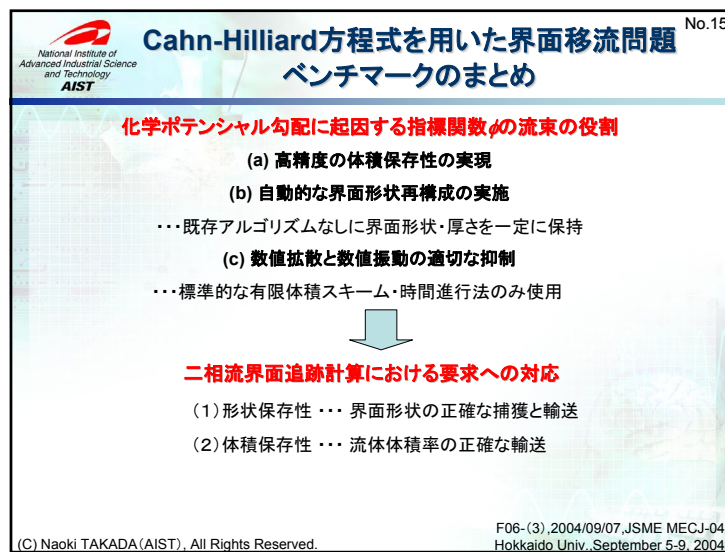
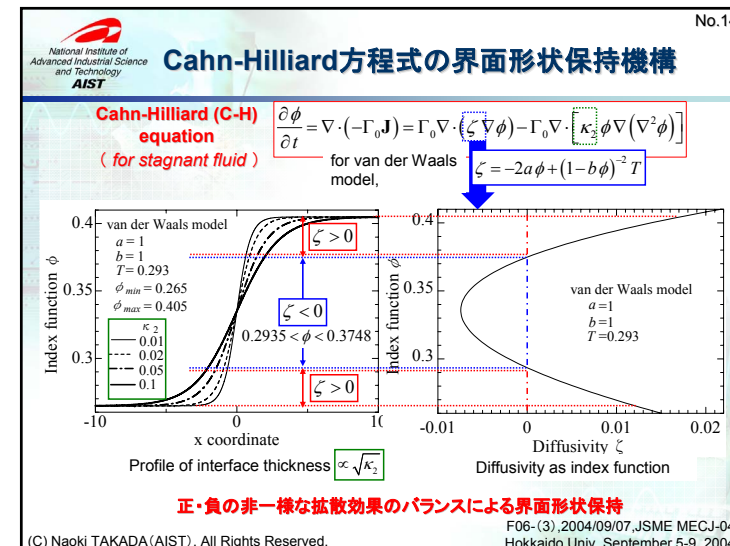
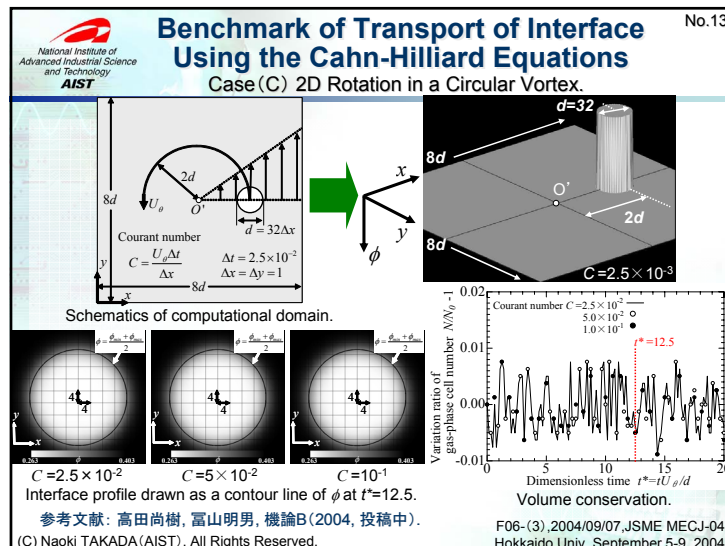
Benchmark of Transport of Interface Using the Cahn-Hilliard Equations Case(B) 2D Linear Transport

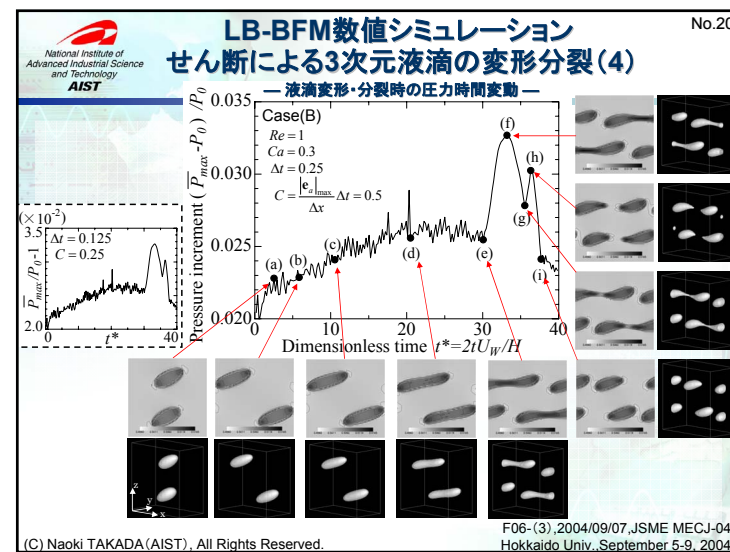
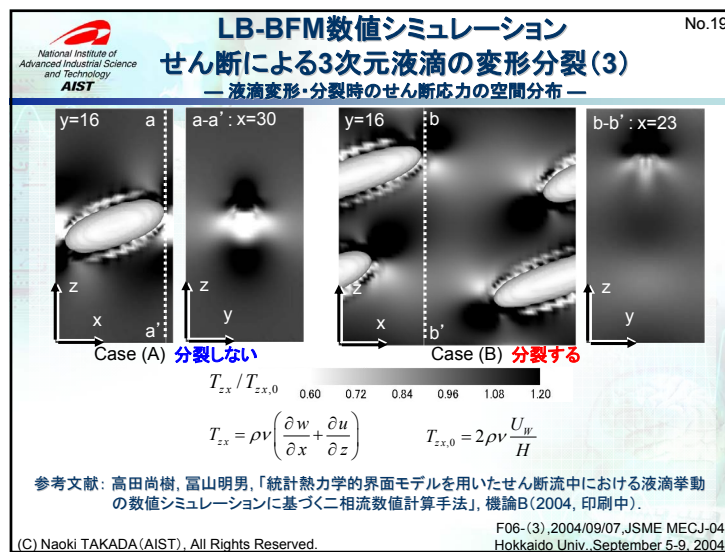
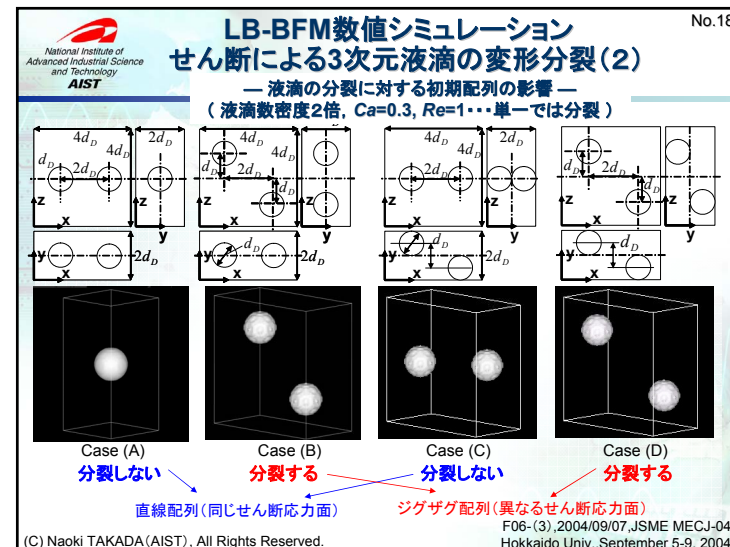
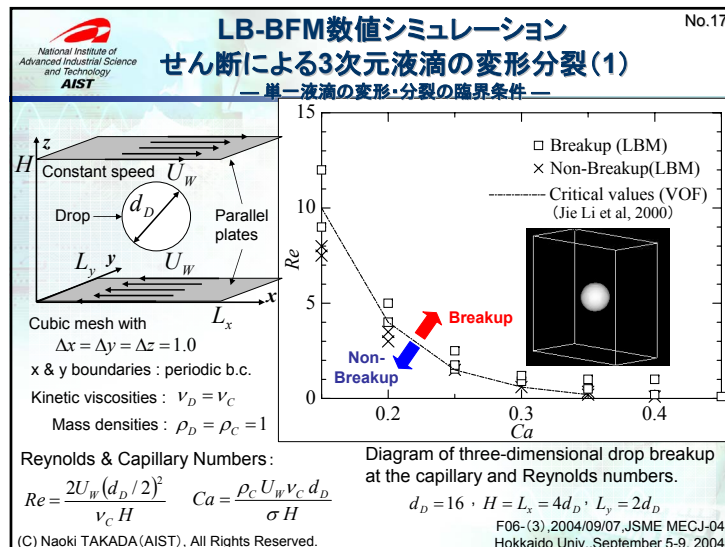
$\Delta x = \Delta y = 1$

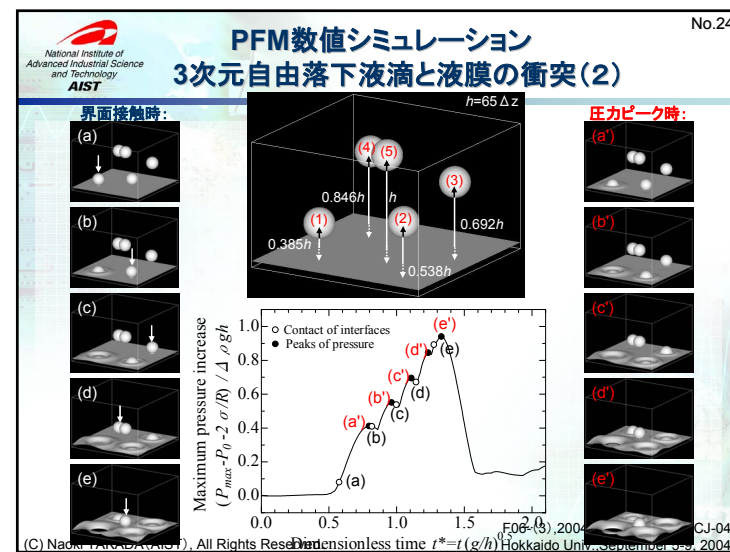
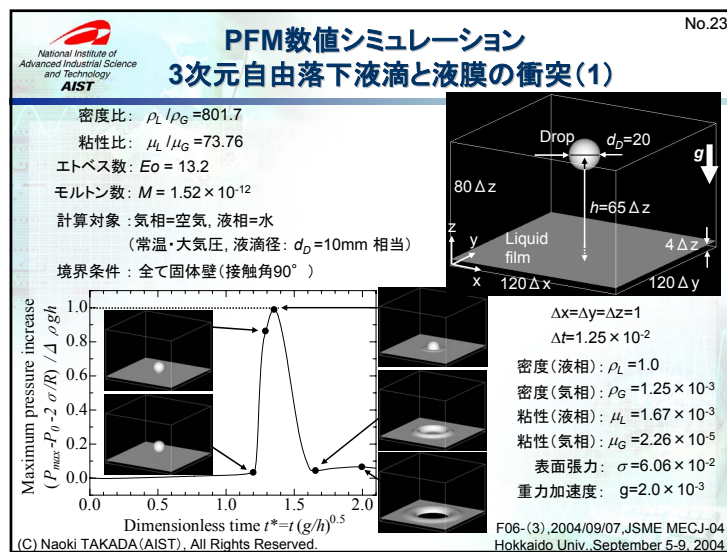
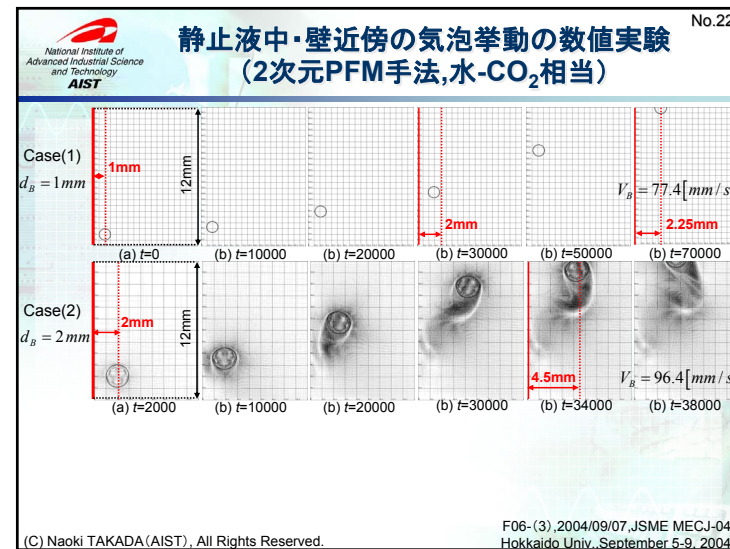
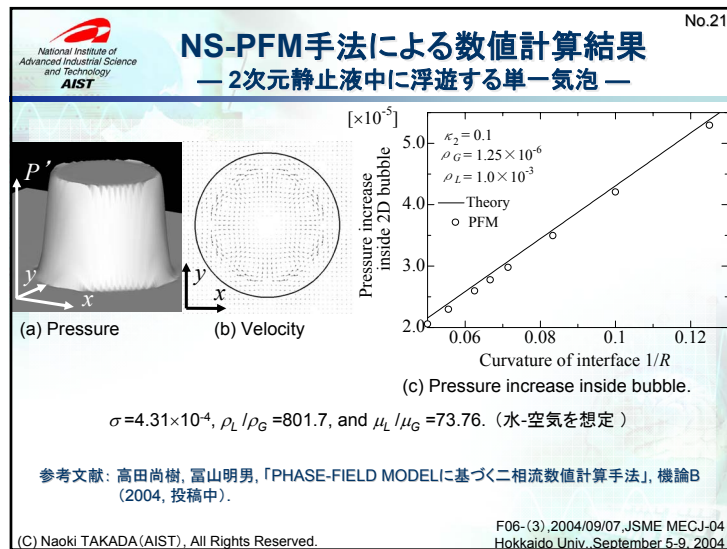
Case (B)

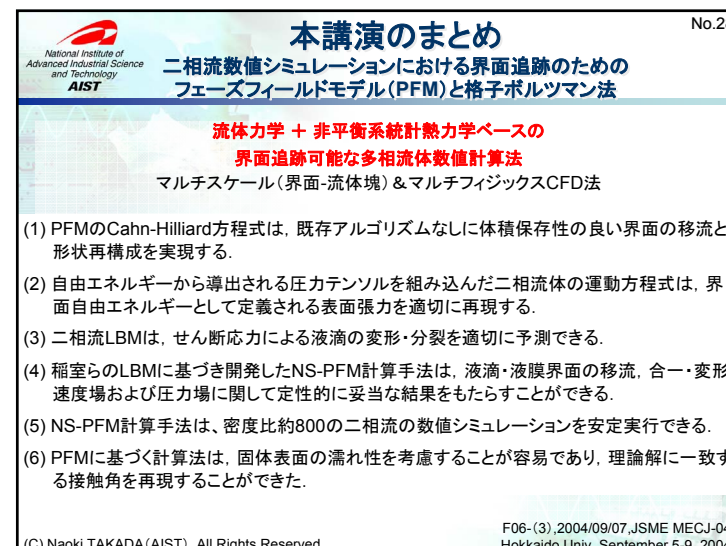
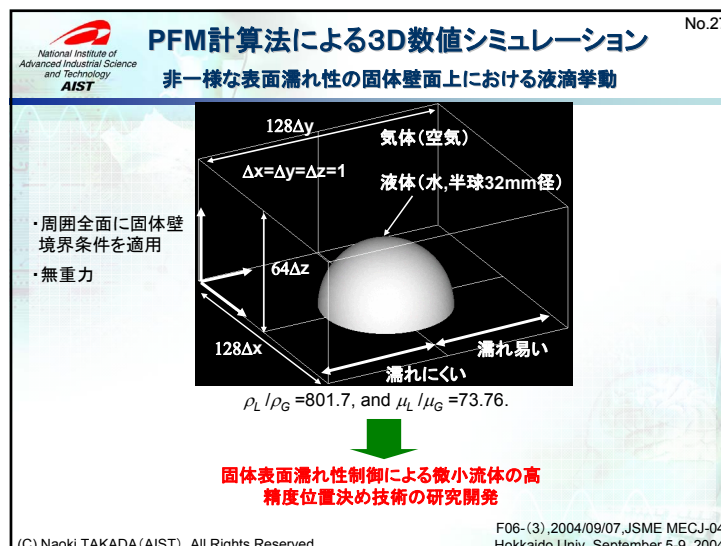
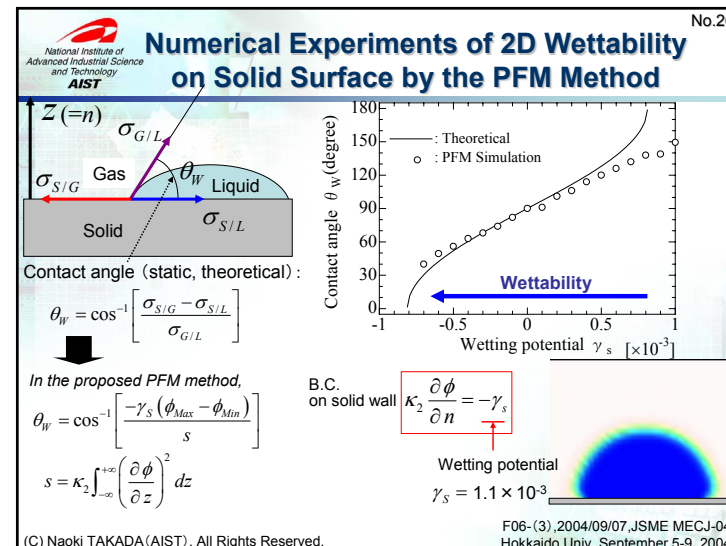
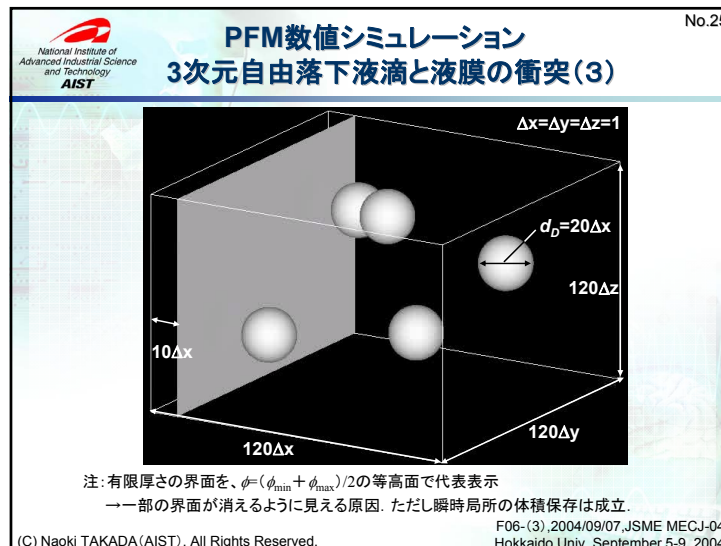
参考文献:
高田尚樹, 富山明男, 「PHASE-FIELD MODELに基づく二相流数値計算手法」, 機論B(2004, 投稿中).
(C) Naoki TAKADA (AIST), All Rights Reserved.

F06-(3), 2004/09/07, JSME MECJ-04
(C) Naoki TAKADA (AIST), All Rights Reserved.











数値流体力学(CFD)に対する Phase-Field Modelの貢献・重要性

No.29

1. 既存の二相流数値計算領域

複雑性の高い二相流动現象の高効率計算

…表面張力と界面移流の計算量は時間・空間解像度でほぼ決まる。

(既存アルゴリズムなし → 界面の面積濃度や変形度合に直接関係しない)

…多数の複雑形状界面の追跡(合体・分裂を繰り返す液滴・気泡クラスター等)

2. マルチスケール&マルチフィジックスな シミュレーション領域

(1) 界面厚さ、固体表面濡れ性が顕著な流れ場

…マイクロチャネル内流动、地下水流れ(結晶質・堆積岩、複雑多孔質体)

(2) 界面が独自の移動速度を持つ場合

…相変化・ガス溶解

(C) Naoki TAKADA (AIST), All Rights Reserved.

F06-(3), 2004/09/07, JSME MECJ-04
Hokkaido Univ. September 5-9, 2004

謝 辞 (敬称略)

研究協力 産業技術総合研究所

三澤雅樹 (複雑現象工学研究G)

高橋 学 (地殻物性チーム)

神戸大学

富山明男, 細川茂雄, 宋明良

研究実施 制度

文部科学省 科学技術振興調整費・流動促進研究課題 (若手育成型)

「閉鎖性水域の水質改善を目的としたマイクロバブル
生成機構の研究」, 2000-2002年度(終了)

文部科学省 原子力試験研究課題

「微視的数値解析手法による地層環境内の物質拡散現象
予測の高度化に関する研究」, 2002-2004年度(継続中).

(C) Naoki TAKADA (AIST), All Rights Reserved.
F06-(3), 2004/09/07, JSME MECJ-04
Hokkaido Univ. September 5-9, 2004

本研究開発内容に関する お問い合わせ

No.31

高田 尚樹

独立行政法人 産業技術総合研究所(AIST)
環境管理研究部門 環境流体工学研究グループ

〒305-8569 茨城県つくば市小野川16-1

つくば西事業所 2G棟1201室

電話: 029-861-8232 Fax: 029-861-8722

E-mail: naoki-takada@aist.go.jp

URL: <http://staff.aist.go.jp/naoki-takada/index.html>

Naoki TAKADA (Research Scientist, Dr.Eng)
National Institute of Advanced Industrial Science and Technology (AIST)
16-1, Onogawa, Tsukuba, Ibaraki, 305-8569, JAPAN
Tel: +81-29-861-8232 , Fax: +81-29-861-8722
E-mail: naoki-takada@aist.go.jp
URL: <http://staff.aist.go.jp/naoki-takada/index.html>

(C) Naoki TAKADA (AIST), All Rights Reserved.

F06-(3), 2004/09/07, JSME MECJ-04
Hokkaido Univ. September 5-9, 2004

本講演に関する主要な参考文献 フェーズフィールドモデルと格子ボルツマン法

No.32

- (1) Jacqmin, D., J. Comput. Phys., **155** (1999), 96-127.
- (2) Jamet, D., Lebaque, O., Coutris, N. and Delhaye, J.M., J. Comput. Phys., **169** (2001), 624-651.
- (3) Anderson, D.M., McFadden, G.B., and Wheeler, A.A., Annu. Rev. Fluid Mech., **30** (1998), 139-165.
- (4) Bi, Z., and Sekerka, R. F., Physica A **261** (1998), 95-106.
- (5) 森田裕史, 川勝年洋, 土井正男, 高分子論文集, **56-10** (1999), 674-683.
- (6) Cahn, J. W., and Hilliard, J. E., J. Chem. Phys., **28** (1958), 258-267.
- (7) Bray, A. J., Adv. Phys., **43** (1994), 357-459.
- (8) Chen, S. and Doolen, G.D., Annu. Rev. Fluid Mech., **30** (1998), 329-364.
- (9) Swift, M. R., Osborn, W. R., and Yeomans, J. M., Phys. Rev. Lett., **75** (1995), 830-833.
- (10) Inamuro, T., Tomita, R., and Ogino, F., Int. J. Modern Phys. B, **17** (2003), 21-26.
- (11) Inamuro, T., Ogata, T., Tajima, S., and Konishi, N., J. Comput. Phys., **198** (2004), 628-644.
- (12) Chen, Y., Teng, S. and Ohashi, H., Proc. 3rd Organized Multiphase Flow Forum '99, Yokohama, Japan, Dec. 2-3 (1999), 58-64.
- (13) Takada, N., Tomiyama, A., and Hosokawa, S., Computational Fluid Dynamics JOURNAL, **12**(2003), 475-481.
- (14) 濑田剛, 高橋亮一, 奥井健一, 竹越栄俊, 機論B, **68**-672 (2002), 2186-2194.
- (15) 斎藤良行, 「組織形成と拡散方程式」, コロナ社(2000).
- (16) 高田尚樹, 富山明男, 「統計熱力学の界面モデルを用いたせん断流中ににおける液滴挙動の数値シミュレーションに基づく二相流数値計算手法」, 機論B(2004, 印刷中).
- (17) 高田尚樹, 富山明男, 「PHASE-FIELD MODEL: 基づく二相流数値計算手法」, 機論B(2004, 投稿中).

(C) Naoki TAKADA (AIST), All Rights Reserved.
F06-(3), 2004/09/07, JSME MECJ-04
Hokkaido Univ. September 5-9, 2004